

بهینه‌سازی مصرف انرژی در تایر

محمد رضا روشن دل، مهندس طراح شرکت سازه در پالایشگاه گاز فاز ۲۲، ۲۳، ۲۴ پارس جنوبی و مشاور
مهندسی بخش سیالات مجتمع فولاد هرمزگان

mo.roshandel@sazeh.co.ir

آرش بابایی جهرمی، سرپرست سیالات و گازهای صنعتی مجتمع فولاد هرمزگان و مدرس دانشکده فنی

مهندسی هرمزگان

حسن بصیرت تبریزی، استاد دانشکده مهندسی مکانیک - دانشگاه صنعتی امیرکبیر

حسین صمدی، لیسانس فیزیک- رئیس آزمایشگاه فیزیک شرکت کیان تایر

فریبرز تاجدینی، لیسانس فیزیک- مدیر واحد فنی ساخت، شرکت کیان تایر

چکیده

بیبود کاهش مصرف انرژی در تایر که حدود ۳۰٪ از کار مکانیکی مفید حاصل از مصرف سوخت در نتیجه پدیده هیسترزیس در تایر حرارت تبدیل می‌شود، در این مقاله مورد بررسی قرار می‌گیرد. با بررسی پدیده هیسترزیس، تغییرات درجه حرارت و مصرف انرژی در تایر به دو روش تجربی و عددی بر روی تایرهای با ساختار (بایاس و رادیال) پرداخته شده است. شبیه سازی تجربی در آزمایشگاه شرکت کیان تایر توسط دستگاه تست ویل و پراب (سنجر دما) بر روی تایرهای با ساختار و کامپاند، ترکیبات و نوع پخت متفاوت تشکیل شده‌اند انجام می‌شود. شبیه سازی عددی تایر نیز توسط نرم افزار المان محدود در دو منطقه تماس تایر (منطقه لغزش) و (منطقه ایستایی) با جاده در بارگذاری متغیر و سرعت متغیر در حالت پایا پرداخته می‌شود. مقایسه نتایج عددی و تجربی تغییرات دما و انرژی در مقطع عرضی تایر در سرعت و بارگذاری معین نشان داده شده است. در انتها چگونگی تاثیر گذاری ساختار تایرهای (رادیال و بایاس) و همچنین نوع آمیزهای لاستیکی، ساختمان منجید و کاربرد سیم در کاهش مصرف انرژی مورد بحث قرار گرفته است.

واژه‌های کلیدی: المان محدود، پایا، تایر رادیال و بایاس، هسترزیس، تست ویل، کامپاند



مقدمه

هیسترزیس به حرارت تبدیل می‌شود. یک ماده در خودروهای سواری حدود ۳۰٪ از کار مکانیکی هایپرالاستیک در حین بارگذاری و باربرداری نمودار تنش و کرنش، مسیری مطابق شکل (۱) را طی می‌کند.

مفید حاصل از مصرف سوخت در نتیجه پدیده

اتلاف انرژی و حرارت زایی بیشتری در تایر بوجود می آورد. بطور کلی تایرها از لحاظ نوع ساختار به دو گروه اصلی بایاس و رادیال تقسیم می گردند(شکل ۲ و ۳). تایرها بایاس که در این دسته از تایرها امتداد نخ های لایه با خط مرکزی تایر زاویه مورب می سازند و ترتیب قرار گیری لایه ها روی یکدیگر بصورت ضربدر می باشد. جنس نخ لایه ها از نوع نایلون است و در بدنه تایر بجز در ناحیه طوقه از سیم فولادی استفاده نمی شود.

تایرها رادیال که در این دسته از تایرها امتداد نخ های لایه با خط مرکزی تایر زاویه حدود ۹۰ درجه می سازد و بعارت دیگر امتداد نخ ها در جهت شعاعی قرار گرفته اند.

یک تایر به سه ناحیه اصلی تقسیم می شود:

(۱) رویه یا آج تایر، که مستقیماً با سطح جاده در تماس است و لذا می بایست ضمن حداکثر مقاومت ممکن در مقابل سایش، حداکثر کارآیی در پیش بردن خودرو با کمترین انرژی ممکن را داشته باشد.
 (۲) بدنه یا منجید، تایر که از لایه های متعددی تشکیل می گردد و استحکام آن نقش تعیین کننده ای در دوام و بقای تایر دارد.

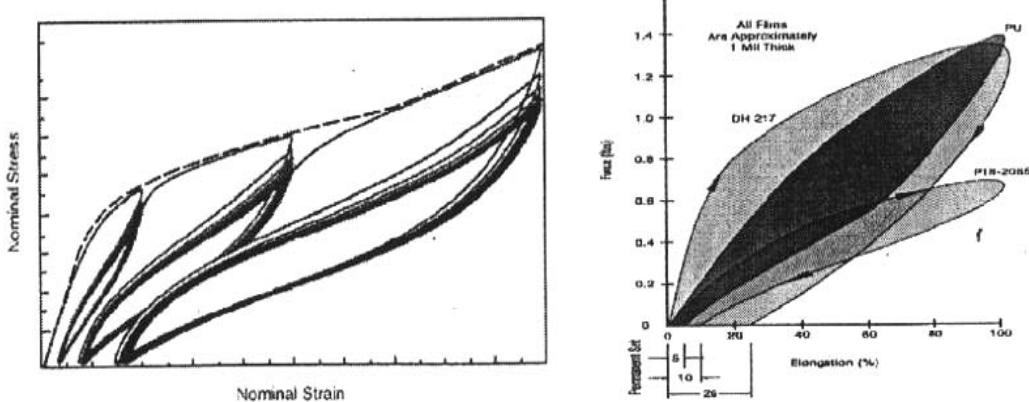
(۳) طوقه یا بید، در داخل لبه های تایر که بر روی رینگ مستقر می شود سیمه های حلقه ای شده ای قرار داده می شود. این حلقه ها از تعدادی سیم تک رشته ای فولادی با روکش مس یا برنز که دارای مقاومت کششی بالایی هستند ساخته شده است [۲].

مرواری برکارهای انجام شده

زنگ و همکارانش [۳] از نرم افزار اجزای محدود انسیس برای بدست آوردن توزیع دمایی در حالت

همانطور که مشاهده می شود مسیر رفت (بارگذاری) بالاتر از مسیر بازگشت (باربرداری) است. از آنجایی که کار مربوط به هر نمودار با توجه به رابطه کلی $w = \frac{1}{2} \epsilon \sigma$ با سطح زیر نمودار مناسب است بنابراین با وجود اختلاف سطح بین دو مسیر رفت و برگشت می توان نتیجه گیری کرد که مقداری از کار به صورت انرژی حرارتی تلف شده است. حرارت هیستریزیس تولید شده با توجه به نمودار شکل ۱ ارتباط مستقیم با تنشهای و تغییر طولهای ایجاد شده در مسیر بارگذاری و باربرداری دارد. این نکته را نشان می دهد که تغییرات ناگهانی در مقادیر تنش و کرنش که ناشی از عواملی نظیر شوک مکانیکی، ضربه، عبور از ناهمواری می باشد و با توجه به زمان کوتاه اثر می تواند، حرارت زیادی را در المان لاستیک تولید کند. همچنین چون رابطه بین تنش و کرنش به جنس ماده بستگی دارد، این حرارت برای الاستومرهای مختلف در شرایط یکسان متفاوت است. از لحاظ تئوری مکانیکی مطابق آنچه در مرجع [۱] آمده، وقتی یک نیروی سینوسی بر روی یک ماده هایپرلاستیک اثر نماید، پاسخ لاستیک باعث ایجاد یک اختلاف فاز در تغییر طول می گردد. این اختلاف فاز عامل اصلی اتلافات انرژی مکانیکی در هر دوره می باشد. منحنی های مربوط به بدنه تایر و دیواره در منحنی های کرنش یکسان شبیه است و منحنی مربوط به قسمت تاج بیشتر در نمودارهای تنش یکسان می باشد. تلفات پسماند علاوه بر جنس آمیزه های لاستیکی و ساختمان منجید تایر، تابع بار عمودی اعمال شده، سرعت فشار باد تایر نیز می باشد. طبعاً سرعت بالا و بار زیاد، شدت دامنه خمش ها و ارتعاشات ویسکوالاستیکی تایر را تشدید نموده و





شکل(۱) نمونه‌ای از نمودار تنش-کرنش یک ماده هایپرالاستیک [۱]



شکل(۲) تایر بایاس خرابی تایر در اثر افزایش تولید حرارت در منطقه شانه تایر



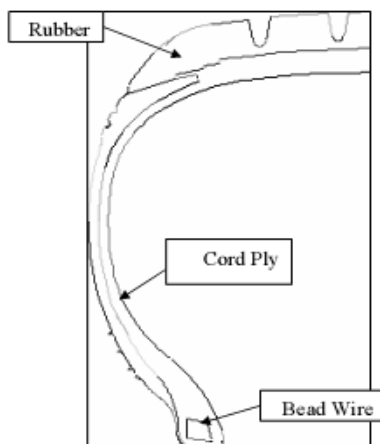
شکل(۳) تایر رادیال خرابی تایر در اثر افزایش تولید حرارت در منطقه شانه تایر

پایدار، تغییرشکل و تنش در هر نقطه و برای محاسبه نرخ تولید حرارت برای تایر پلی اورتان استفاده کردند. در این تحقیق برای تحلیل حرارتی با فرض عدم وجود اختلاف دما در جهت دایره محیطی از یک مدل دو بعدی و برای تحلیل تنش و کرنش از یک مدل سه بعدی استفاده شده است. یونگ ژیی و شنج [۴] به بررسی توزیع دما در تاج نرم تایر که شرایط بارگذاری متفاوت و تحت سرعت و فشارهای مختلف فعالیت دارد، توسط نرم افزار آنسیس توزیع دما را در دو حالت دینامیکی و پایدار در تایر در هنگام حرکت به دست آورند. در مقاله‌ای دیگر [۵] با استفاده از نتایج تجربی توزیع دما داخلی یک تایر در حال چرخش را به کمک مدل سازی ریاضی، روشی سریع و عملی برای تعیین ضریب پخش حرارتی نسبی اجزا تایر و کنترل تایرهای تولیدی و اطمینان از نحوه پرداخت بهینه آنها ارایه شده است. در این مقاله میزان گرمای تولید شده با توجه به میزان بار اعمال شده، سرعت چرخش تایر و فشار تخمین زده می‌شود و سپس معادله حرارتی به صورت یک بعدی حل می‌گردد.

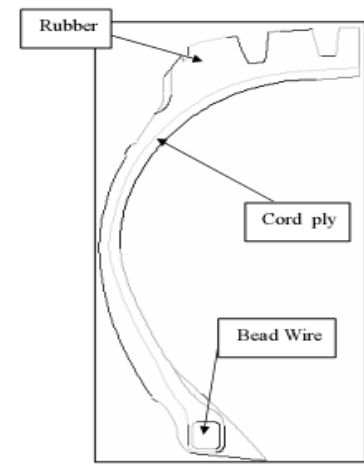


مسئله انتقال حرارت لاستیک شرط انتقال حرارت جابجایی از سطوح خاص لاستیک است. این شرط روی سطوح آزاد خارجی و داخلی تایر اعمال می‌شود.

سطوحی از قبیل سطح تاج، سطح شانه، سطح دیواره تا محل اتصال به رینگ و همچنین تمام سطح داخلی تایر تحت انتقال حرارت جابجایی با سیال مجاور (هوای بیرون تایر) می‌باشند. مرجع [۷] ضرایب جابجایی را برای نقاط مختلف پیشنهاد می‌نماید (شکل ۶). این اعداد برای تایر با شعاع بیشینه ۱۳ اینچ مناسب است.



(الف)



(ب)

شکل (۴) قسمتهای تفکیکی (الف) تایر ۱۳-۵۶۰
ب) تایر ۱۳-۵۶۰

۳- تئوری و فرضیات مسئله

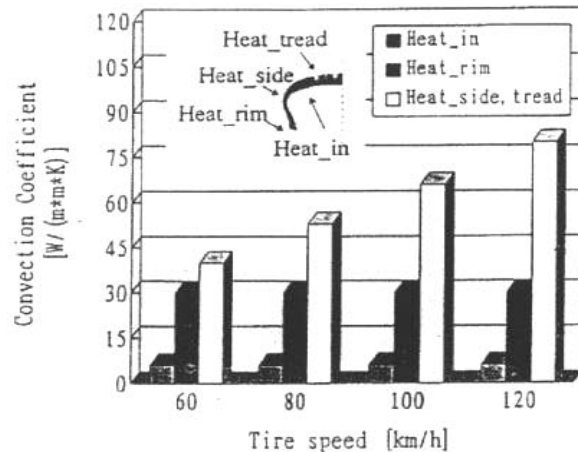
با صرفنظر کردن از اختلاف دما در دایره محیطی، معادله (۱) را برای تحلیل حرارتی مقطع عرضی تایر بصورت دو بعدی می‌توان نوشت.

$$\frac{\partial T}{\partial x} + \frac{\partial T}{\partial y} - \frac{q}{k} = 0 \quad (1)$$

از آنجاییکه تایر از سه قسمت همگن و ایزوتروپیک به نام‌های لاستیک و نخ و سیم فولادی تشکیل شده است (شکل ۴).

مقطع تایر را دو بعدی و متقارن فرض می‌کنیم. محور تقارن و سطح داخلی تایر که در تماس با یوب هوا می‌باشد به دلیل پایین بودن قابلیت هدایت حرارتی یوب هوا، عایق فرض گردید. کلارک و شارنینگ [۶] با شرایط انتقال حرارت جابجایی در سطح داخل تایر مدلسازی ریاضی را برای پیدا کردن توزیع دمایی تایر انجام دادند که نتیجه مطالعات آنها نشان می‌دهد که شرط عایق بودن سطح داخل تایر فرض قابل قبولی است. مرز تماس با رینگ تایر، با توجه به ثابت ماندن نسبی دمای رینگ بصورت دما ثابت در نظر گرفته شده است. از دیواره جنبی و ناحیه شانه تایر بخشی از حرارت تولید شده در درون تایر، از طریق جابجایی و تابش به هوا انتقال می‌یابد. بخشی از ناحیه تاج که در یک لحظه در تماس با جاده قرار دارد در سطح جاپا در معرض یک جریان حرارتی رو به داخلناشی از رفتار اصطکاک لغزش تاج و همچنین انتقال حرارت با سطح جاده قرار دارد و بخشی از ناحیه تاج نیز که بصورت لحظه‌ای با هوا تماس دارد از طریق جابجایی و تابش با هوا در تبادل حرارت است (شکل ۵).

ضریب انتقال حرارت جابجایی سطوح مختلف
همانطور که قبلًا نیز اشاره شد یکی از شرایط مرزی در



شکل (۶) ضرایب انتقال حرارت جابجایی برای نقاط مختلف تایر [۷]

جدول (۱) ضرایب هدایت حرارتی لایه‌های تایر [۸]

T C°	K _c W/mk	T. P K _e W/mk	S. P K _e W/mk
۴۰	۲۲۳.۰	۱۹۵.۰	۱۹۸.۰
۶۰	۲۱۳.۰	۱۸۶.۰	۱۸۹.۰
۸۰	۱۹۷.۰	۱۷۳.۰	۱۷۵.۰
۱۰۰	۱۸۵.۰	۱۶۳.۰	۱۶۵.۰
۱۲۰	۱۷۶.۰	۱۵۳.۰	۱۵۷.۰

ضریب انتشار تشعشع حرارتی

ضریب صدور تشعشع سطح لاستیک در مرجع [۹] بین ۰/۹۶ و ۰/۹۸ گزارش شده است. در اینجا با توجه به درصد پایین انتقال حرارت تشعشعی نسبت به دیگر موارد مقدار حدودی ۰/۹۶ اتخاذ شده است.

حرارت توسط پدیده هیسترزیس

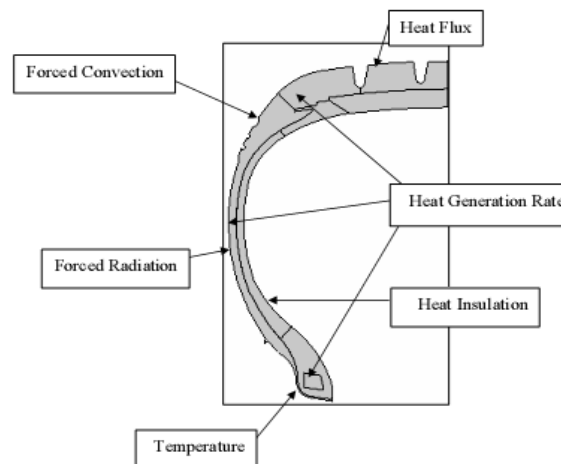
حرارت تولید شده بر اثر پدیده هیسترزیس از معادلات (۵۰۴و۳) استفاده گردید [۵]. این معادلات با استفاده از آنالیز رگرسیون گرمای تولیدی در مناطق مختلف تایر را محاسبه می‌نماید.

در ناحیه تاج:

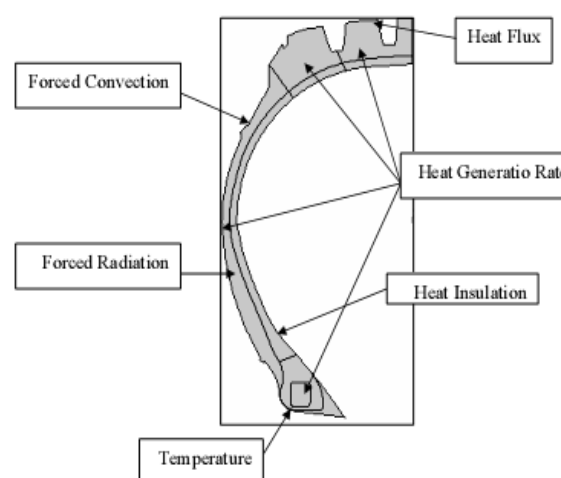
ضریب هدایت حرارتی لایه‌های تایر

تایر شامل دو لایه می‌باشد که هر لایه مرکب از، آمیزه لاستیکی پوشش دهنده بعنوان جسم پایه و رشته‌های نخنایلونیا پلی استر، می‌باشد. ضریب هدایت حرارتی لایه‌های تایر در مرجع [۸] آمده است (جدول ۱). مقدار K_c و K_e بترتیب ضریب هدایت حرارتی آمیزه لاستیکی و ماده مرکب نخ است. ضریب هدایت حرارتی طوقه سیمی از جنس فولاد با استفاده از مرجع [۴]

برابر $\frac{w}{m \cdot k} = 60$ در نظر گرفته شد.



الف) تایر ۱۶۵-۱۳ رادیال



ب) تایر ۱۳-۱۶۰ بایس

شکل (۵) شرایط مرزی

تماس وارد تایر می‌شود و در مرجع [۱۱] میزان μ بدهست می‌آید.

$$q_{Tread} = \frac{U}{V} (2.25 \times 10^6 - \frac{179.2 \times 10^6}{P} + 0.35 \nu^3 + \frac{7.8 \times 10^4 \times L}{P} + 2.46 \times L \times \nu) \quad (2)$$

بررسی تجربی دما در تایر

در این قسمت به بررسی درجه حرارت در مقطع عرضی تایر، که در حال حرکت در تماس با جاده‌های صاف ایجاد می‌شود پرداخته می‌شود. در این آزمایش شرایط به شکلی شبیه سازی شده که تایر به علت افزایش حرارت ناشی از مصرف سوخت، در لایه‌های شانه و ترد در تماس با جاده ایجاد می‌شود و نشان داده می‌شود که چگونه انرژی تولیده شده در تایر منجر به گسیختگی لایه‌های تایر می‌گردد. قابل ذکر می‌باشد که در این قسمت بررسی حرارتی توسط دستگاه تست ویل و شرایط موجود در آزمایشگاه شرکت کیان تایر شبیه سازی شده است. دستگاه تست ویل (شکل ۷) دارای یک درام غلتک مانند به قطر $mm\ 1700$ با سطح صیقلی بوده که می‌تواند با سرعت معین و با اعمال بار مشخص با تایر بچرخد ماکریم سرعت $200\ Km/hr$ و ماکریم بار $50000\ kg$ را به تایر اعمال می‌نماید و سپس توسط دستگاه پراب (شکل ۸) دما را در نقاط (تاج، شانه، طوقه و بدنه رینگ) می‌توان بدهست آورده.

دستگاه تست ویل آزمایشگاه فیزیک شرکت کیان تایردارای چهار بخش است که توانایی انجام چهار آزمایش در یک زمان را دارد. شرایط محیطی در آزمایشگاه به گونه‌ای است که دمای محیط بین $36^{\circ}C$ الی $40^{\circ}C$ است و هر گاه دما از $36^{\circ}C$ کاهش یابد سیستم گرم کننده روشن می‌گردد و اگر دما از $40^{\circ}C$ درجه افزایش یابد سیم خنک سازی روشن می‌شود. بنابراین دمای محیط را به طور متوسط می‌توان $38^{\circ}C$ در نظر گرفت. در این قسمت در دستگاه درام تایر در سرعت $80\ km/hr$ و بار 330 یا 340 کیلوگرم قرار

ناحیه شانه:

$$q_{Shoulder} = \frac{\nu}{V} (-6.3 \times 10^5 + 3.1 \times 10^2 \times L - \frac{1.03 \times 10^{10}}{P^2} + 7.5 \times 10^{-3} \times L^2 + 6.7 \times 10^3 \times \nu^3 + \frac{4.1 \times 10^4 \times L}{P}) \quad (3)$$

ناحیه دیواره:

$$q_{sidewall} = \frac{\nu}{V} (-1.23 \times 10^6 + 6.75 \times 10^2 \times L + \frac{1.24 \times 10^{10}}{P^2} + \frac{9.4 \times 10^4 \times L}{P} - 0.61 \times L \times \nu) \quad (4)$$

و در ناحیه طوقه:

$$q_{Bead} = \frac{\nu}{V} (-1.1 \times 10^6 + 4.75 \times 10^2 \times L + \frac{1.1 \times 10^8}{P} - 1.9 \times 10^2 \times L^2) \quad (5)$$

که q گرمای ناشی از تلفات مکانیکی، V حجم تایر بر حسب مترمکعب، L سرعت خطی وسیله نقطه بر حسب کیلومتر در ساعت و P بار عمودی بر حسب نیوتون و ν ضخامت مقطع تایر بر حسب متر می‌باشد.

حرارت تولید شده در اثر اصطکاک

برای محاسبه گرمای ایجاد شده در اثر اصطکاک بین سطح تایر و جاده معادله (۶) ارایه گردیده که [۷]:

$$Q = \alpha \cdot \mu \cdot V \cdot P \quad (6)$$

در این رابطه Q جریان حرارتی وارد شده به ناحیه تاج، α درصد حرارت جذب شده توسط این ناحیه، μ ضریب اصطکاک لغزشی لاستیک با آسفالت و P فشار ظاهری تایر و جاده است، بدهست می‌آید [۱۰]. سپس شار ورودی به تایر با توجه به اینکه در مرجع [۱۰] میزان α برابر $1/2$ در نظر رگرفته است و یا به عبارت دیگر 50% از شار تولید شده در منطقه





شکل(۸) دستگاه اندازه گیری دما(پراب)

قسمت به سه نوع جنس نخ و لاستیک، سیم فلز تقسیم می شود. برای اعمال شرط مرزی انتقال حرارت جابجایی با محیط اطراف اطلاعات مربوط به ضریب انتقال حرارت جابجایی نسبت به سرعت را از شکل (۶) وارد میگردد. شار حرارتی ورودی بر واحد سطح (اصطکاک) و نرخ تولید حرارت بر واحد حجم در هر قسمت از تایر بر حسب سرعت و در قسمت تئوری و آزمایشات محاسبه شده وارد میگردد. شرط مرزی تشعشع با محیط اطراف با در نظر گرفتن دمای محیط که در شرایط آزمایشگاهی آن 38°C در نظر گرفته اعمال میگردد. آنالیز گرمایی پایا در بارگزاری و در سرعت‌های متغیر، فشار تورم که نسبت به سرعت تعییر می‌کند انجام می‌شود.

نتایج

شکل (۹) و (۱۰) توزیع دما در مقطع عرضی تایر را توسط شبیه سازی عددی نشان می‌دهد. شبیه سازی عددی بالاترین درجه حرارت را که مشخصه مصرف انرژی است در منطقه شانه تایر که بیشترین ضخامت لاستیک دارا می‌باشد، در دو ساختار تایر پیش‌بینی می‌کند. شکل (۱۱) و (۱۲) مقایسه بررسی

می‌گیرد. در پایان دو ساعت اول دما در مقطع عرضی تایر(شانه، مرکز ترد یا تاج، دیواره، طوقه) توسط دستگاه اندازه گیری اندازه گیری می‌شود، سپس دما در مقطع عرضی تایر بدست می‌آید.

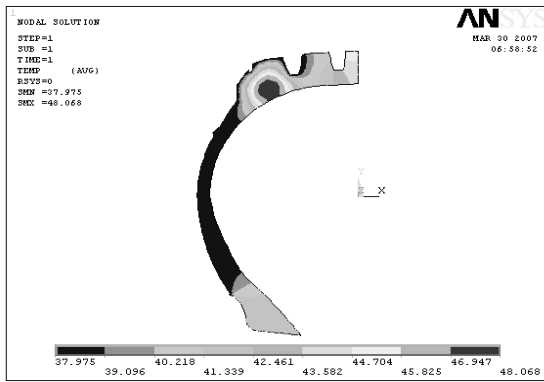
شبیه سازی عددی

جهت شبیه سازی و آنالیز عددی از روش المان محدود و با استفاده از نرم افزار تجاری انسیس با ویرایش ۱۰ استفاده می‌گردد. در اولین قدم برای تحلیل تایر نیمی از مقطع عرضی دو بعدی تایر را به دلیل تقارن محوری در نظر گرفته شده است. سپس مدل سازی و مش بندی صورت می‌گیرد. المان سطحی ۷۷ که یک المان چهارضلعی و مطابق شکل (۳) تایر را از سه قسمت همگن ایزوتروپ در نظر می‌گیرد و سپس ضرایب حرارتی متفاوت (لایه‌ها، طوقه، تاج و دیواره) که مطابق جدول (۱) تعریف شده برای تایر تعیین می‌گردد.

با انتخاب خطهایی که هر لایه تایر را در بر می‌گیرد می‌توان سطح موردنظر را با توجه به جنس مواد به کار رفته ایجاد کرد. به این ترتیب تایر وابسته به جنس‌های مختلف و همچنین تولید حرارت متفاوت در هر



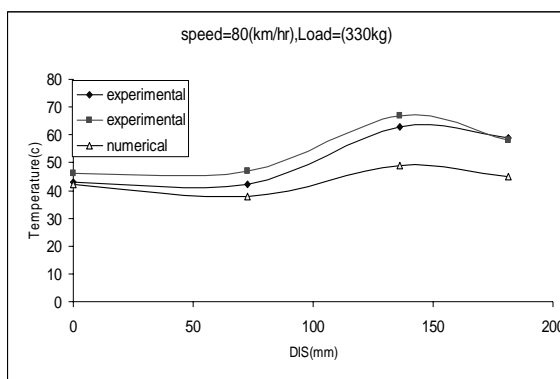
شکل(۷) دستگاه تست ویل



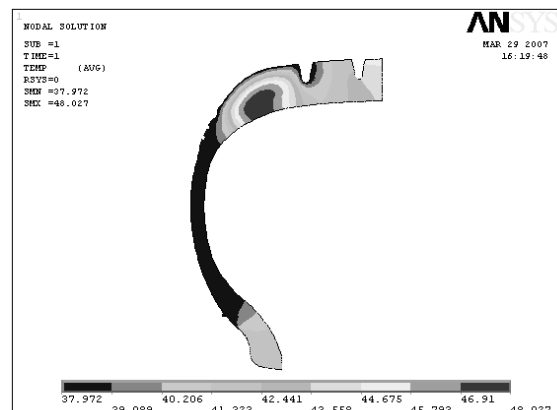
شکل (۱۰) توزیع دما درون تایر ۱۳-۵۶۰ در سرعت ۳۴۰ km/hr و بار ۸۰ kg

عددی و تجربی حرارت در مقطع عرض تایر بایاس و رادیال را نشان می‌دهد. همانطور که در شکل مشاهده می‌گردد منطقه بحرانی تایر شانه و مرکز ترد است. به علت بالا بودن ضخامت متریال در این نواحی، دما در اکثر موارد در شانه که از لحاظ تئوری قابل بیان است، افزایش می‌یابد که باعث خرابی تایر و بیشترین مصرف انرژی می‌شود. ولی در بعضی از موارد، دما در تاج تایر بیشتر از شانه تایر افزایش می‌یابد که علت آن افزایش ضخامت در منطقه فوق است.

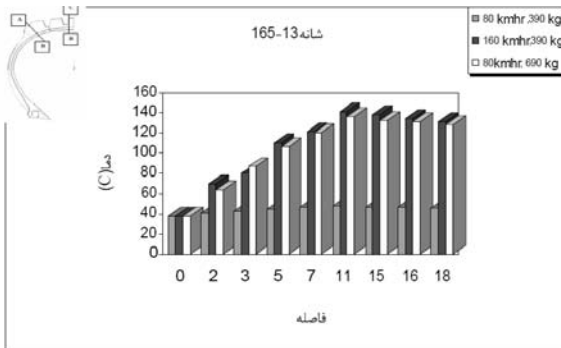
شکل (۱۳) و (۱۴) نمودار افزایش دما در مقطع عرضی شانه تایر رادیال و بایاس (A-B) در شرایط متفاوت می‌باشد. شکل (۱۳) و (۱۴) نتیجه شبیه سازی عددی تایرهای متفاوت در بارگذاری و سرعت‌های متفاوت است. مشاهده می‌شود که ماکریم دما در منطقه لاستیکی تایر اتفاق می‌افتد و دمای کمتری از ماکریم دما در ناحیه کارکس (نخ) ایجاد می‌شود. بنابراین می‌توان پیش‌بینی نمود که دمای ماکریم در منطقه‌ای در بالای سطح کارکس رو به بیرون تایر ایجاد می‌شود.



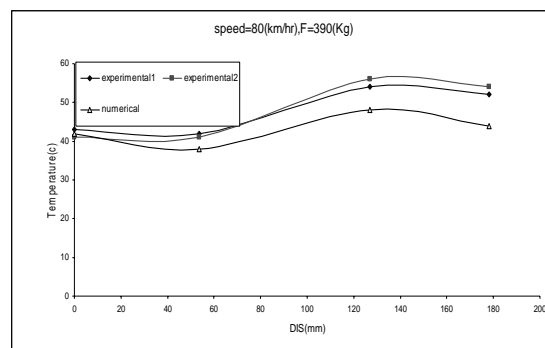
شکل (۱۱) مقایسه بررسی عددی و آزمایشگاهی تغییرات دما در مقطع عرضی تایر ۱۳-۵۶۰ در ۵۶۰-۱۳



شکل (۹) توزیع دما درون تایر ۱۳-۵۶۰ در ۳۴۰ km/hr و بار ۸۰ kg



شکل (۱۴) نمودار تغییرات دما نسبت به ضخامت در شانه تایر ۱۶۵-۱۳ (A-B) در حالت‌های گوناگون



شکل (۱۲) مقایسه بررسی عددی و آزمایشگاهی تغییرات دما در مقطع عرضی تایر ۱۶۵-۱۳

[4] Jyhlin, Y, Hwang,S, "Temperature of rollingtires by computer simulation", Mathematics Computers in Simulation 67,2004 235-249

[۵] هاشم آبادی، س. حسن، حبیب نیا، م. غلامحسین پور، س. روش تعیین ضریب پخش حرارتی نسبی اجزاء تایر، دومین سمینار ملی لاستیک ایران، تهران، اسفند، ۱۳۷۷

[۶] تبری، آ، بصیرت تبریزی، حسن، تاجدینی، ف، "بررسی و ارایه مدل انتقال حرارت در تایر"، هفتمین کنفرانس ملی لاستیک ایران، کرمان، آذر، ۱۳۸۳

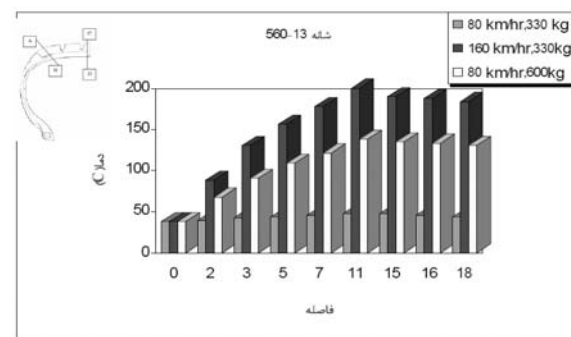
[7] Park ,H. C, Youn, S. K, Song, T. S. , Kim, N. J, "Analysis of temperature distribution in a rerolling tire due to strain energy dissipation", Tire Science and Technology, (TSTCA) Vol. 25,3, 1997,PP214-228

[۸] رضوانی، ع، یعقوبی، م، کرمی، ق، ضریب هدایت حرارتی آمیزه‌ها و ترکیبات لاستیکی به کار رفته در تایر، اولین سمینار ملی لاستیک ایران، کرمان، اسفند، ۱۳۷۶

[9]Chung, B. T. F, Yang, P. C, Naraghi, M. H. N, Schuring, D. J, "Heat transfer in tire", Proceeding of the Third international Conference, Seattle, U. S. A. ,1983

[۱۰] روشنیل، م، "بررسی حرارت در تایر خودرو در تماس با جاده"، پایان نامه کارشناسی ارشد مهندسی مکانیک تبدیل انرژی، دانشکده فنی و مهندسی، دانشگاه آزاد در فول، ۱۳۸۶

[11] Lacombe, J, "Tire model for simulations of vehicle on high and low friction road surfaces", Simulation Conference,USA, 2000.



شکل(۱۳) نمودار تغییرات دما نسبت به ضخامت در شانه تایر ۵۶۰-۱۳ (A-B) در حالت‌های گوناگون

تاج تایر می‌تواند حرکت رفت و برگشتی تنش کرنش تایر را کاهش داده و باعث جلوگیری از مصرف بیش از حد انرژی تولید شده در تایر شود. در بعضی از موارد می‌توان از نخ‌های ابریشم مصنوعی به جای سیم استفاده کرد.



مراجع

- [1]Clark, S. K. , "Mechanics of Pneumatic Tires", office of vehicle systems research, Institute for Applied Technology and National Bureau of Standard , Washington D. C. , USA, 1971, PP23-32,44-54,596-602
- [۲] نوایی، س. م.، مقدمیان، ک.، حبیب نیا، م.، "تایر، انتخاب، استفاده و نگهداری"، انتشارات خانه چاپ، ۱۳۸۳
- [3] Zheng, M, Libiao, Y. U. , Ying,Z, "Finite element analysis of stresses and temperature field of PUE Solid" Tire 2002